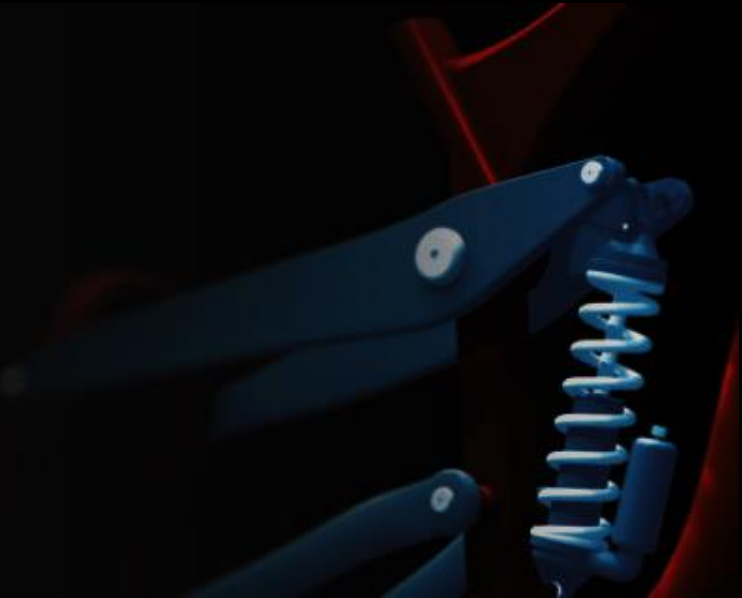


KONSTRUOVÁNÍ STROJNÍCH SOUČÁSTÍ

Joseph E. SHIGLEY
Charles R. MISCHKE
Richard G. BUDYNAS

Převodovka pro ovládání potrubních ventilů



Ing. Matúš Ranuša
matus.ranusa@vut.cz
A2/409

Ústav konstruování
Fakulta strojního inženýrství
VUT v Brně

Výpočet pera

7.cvičenie

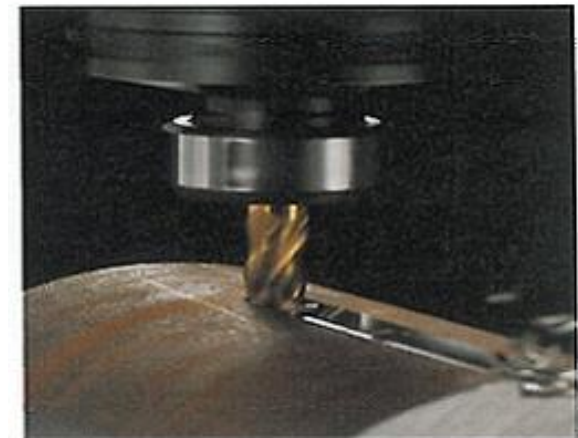
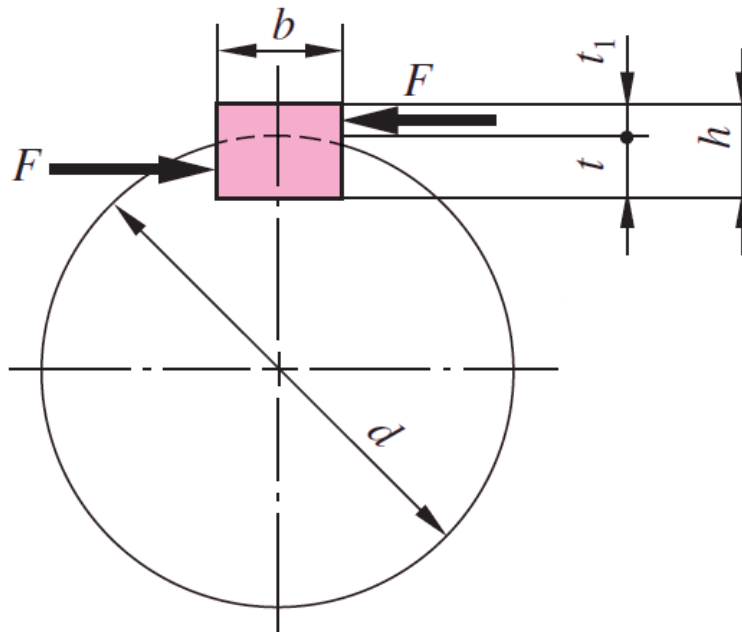
Trvanlivost ložiska A	N_A
Trvanlivost ložiska B	N_B
Trvanlivost ložiska C	N_c
Návrh délky pera (otl. v náboji)	L_1



Délka pera se navrhuje tak, aby nedošlo k otlačení mezi bokem drážky v náboji a pera (kontrola na smyk se zpravidla neprovádí).

$$F = \frac{2M}{d}$$

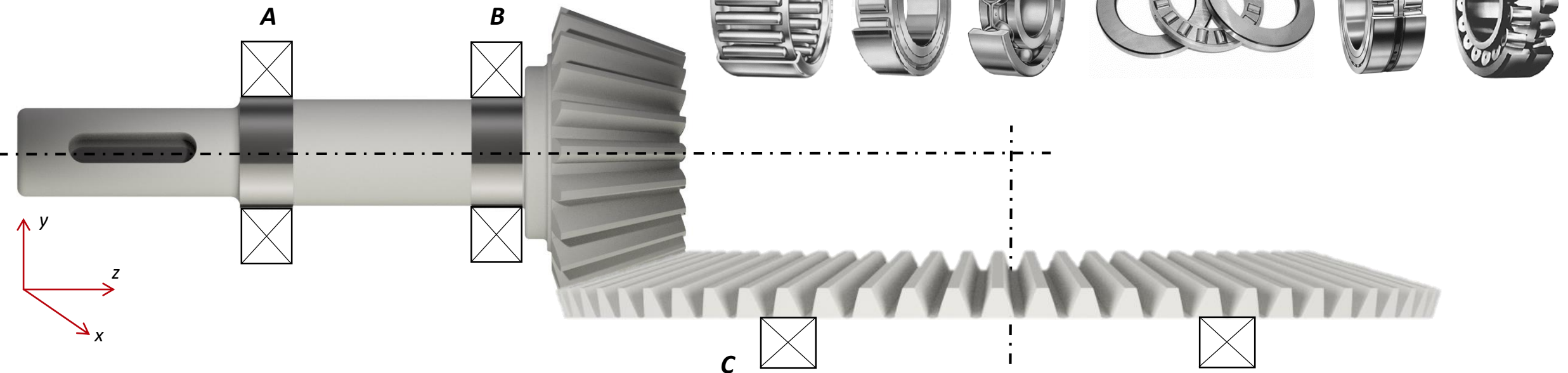
$$p_D \geq \frac{F}{t_1(l-b)}$$



Výběr ložisek

7.cvičenie

Trvanlivost ložiska A	N_A
Trvanlivost ložiska B	N_B
Trvanlivost ložiska C	N_c
Návrh délky pera (otl. v náboji)	L_1



Výběr ložisek

7.cvičenie

Trvanlivost ložiska A	N_A
Trvanlivost ložiska B	N_B
Trvanlivost ložiska C	N_c
Návrh délky pera (otl. v náboji)	L_1

LEGENDA:

- VYHOUJE PLNĚ
- VYHOUJE ZA URČITÝCH PODMÍNEK
- VYHOUJE DOBŘE
- NEVYHOUJE
- VYHOUJE PRŮMĚRNĚ

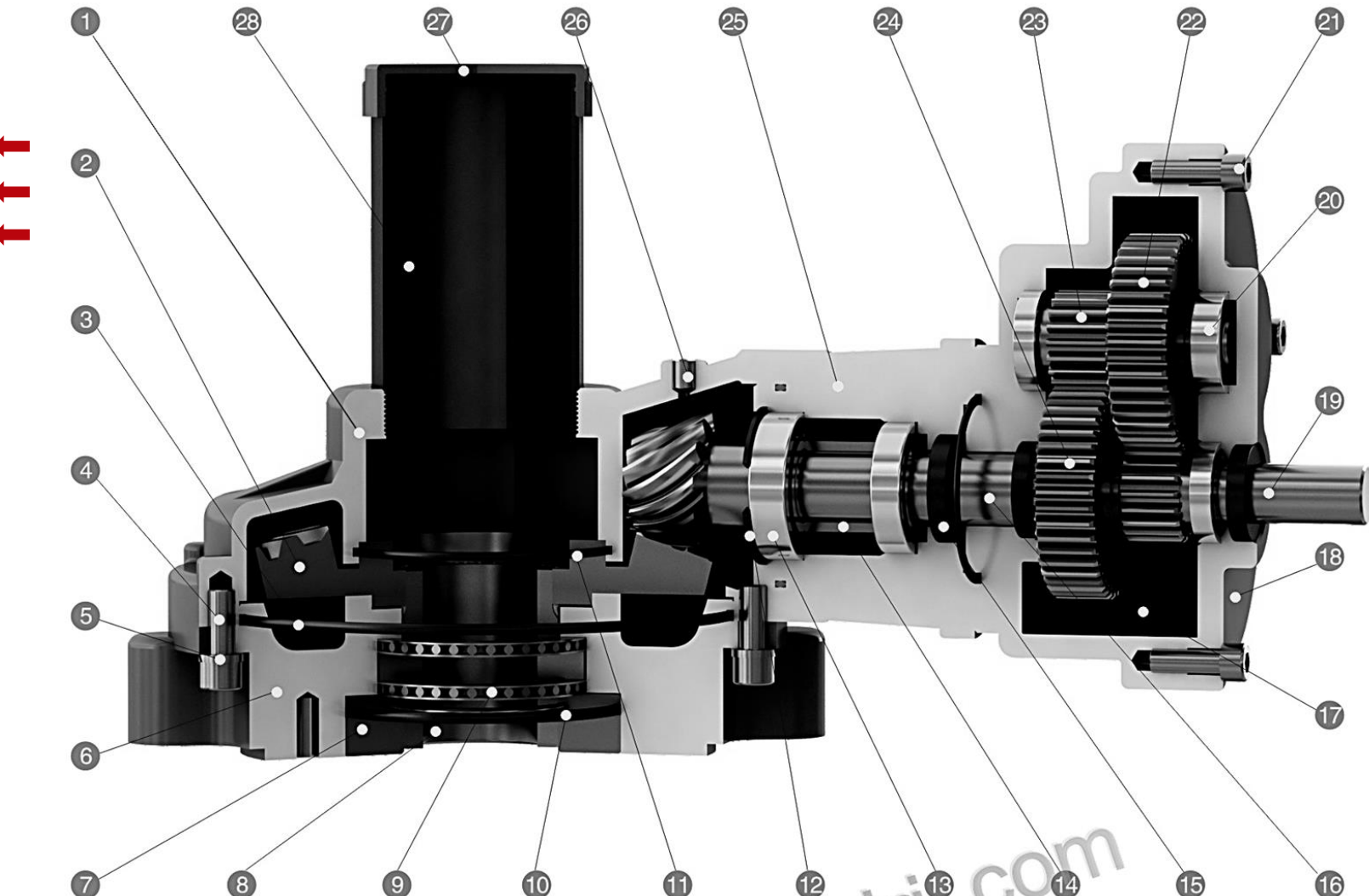


DRUH	OBR.	RADIÁLNÍ ZATÍŽENÍ	AXIÁLNÍ ZATÍŽENÍ	ÚHLOVÉ STAVITELNÉ	VYSOKÉ OTÁČKY	MALE PASIVNÍ ODPORY	RADIÁLNĚ TUHÉ	AXIÁLNĚ TUHÉ
RADIÁLNÍ								
RADIÁLNÍ								
RADIÁLNÍ								
RADIÁLNÍ								
RADIÁLNÍ								
RADIÁLNÍ								
RADIÁLNÍ								
RADIÁLNÍ								
RADIÁLNÍ								
AXIÁLNÍ								
AXIÁLNÍ								
AXIÁLNÍ								
AXIÁLNÍ								
AXIÁLNÍ								
AXIÁLNÍ								
AXIÁLNÍ								
AXIÁLNÍ								
AXIÁLNÍ								

Sestava převodovky pro ovládání potrubních ventilů

7.cvičenie

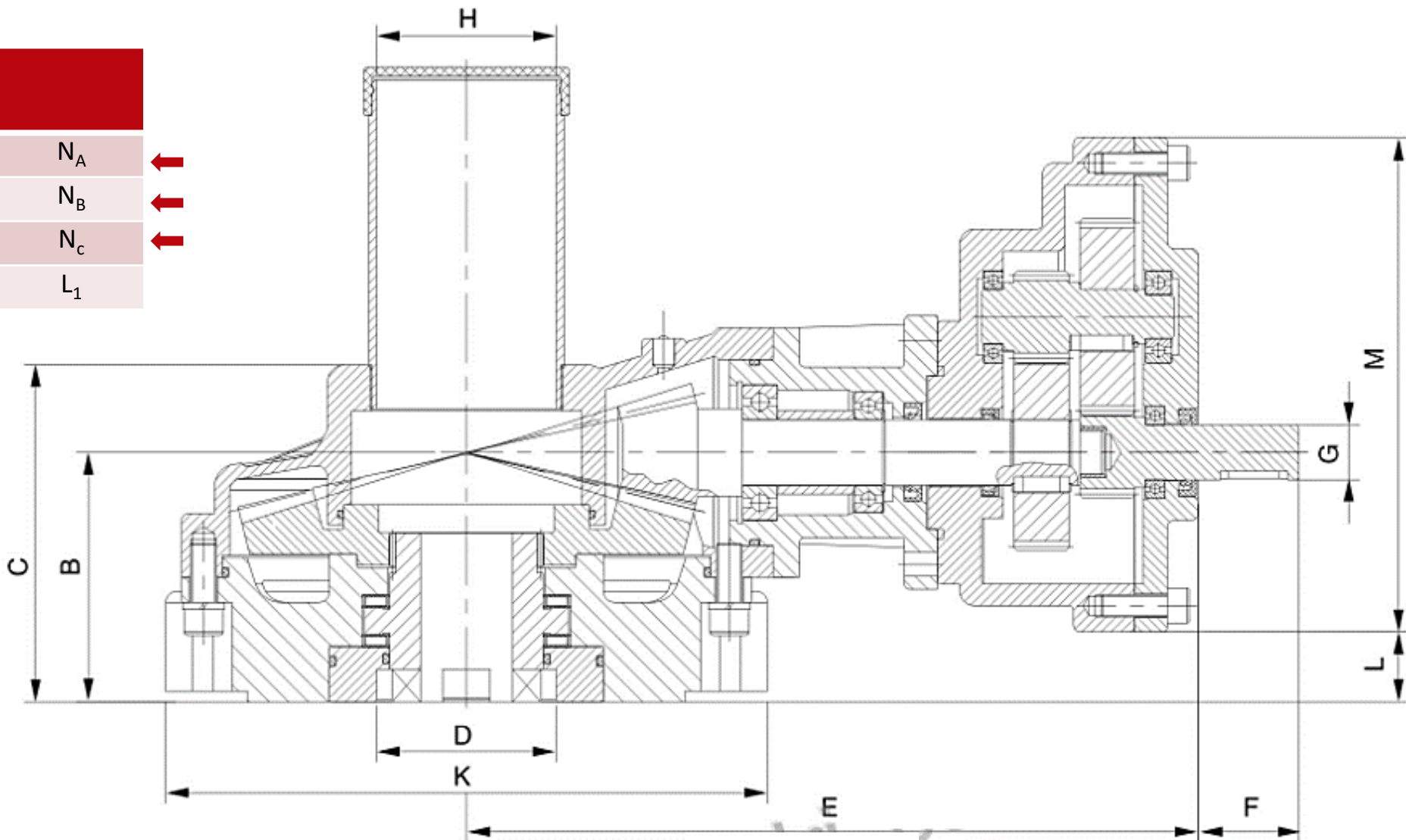
Trvanlivost ložiska A	N_A
Trvanlivost ložiska B	N_B
Trvanlivost ložiska C	N_c
Návrh délky pera (otl. v náboji)	L_1



Sestava převodovky pro ovládání potrubních ventilů

7.cvičenie

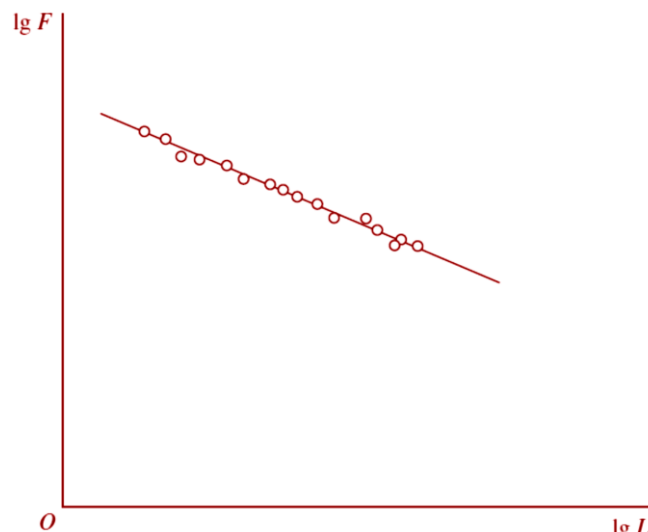
Trvanlivost ložiska A	N_A
Trvanlivost ložiska B	N_B
Trvanlivost ložiska C	N_c
Návrh délky pera (otl. v náboji)	L_1



Trvanlivost ložisek

7.cvičenie

Trvanlivost ložiska A	N_A
Trvanlivost ložiska B	N_B
Trvanlivost ložiska C	N_c
Návrh délky pera (otl. v náboji)	L_1



$a = 3$ pro kuličková ložiska (ložiska s bodovým stykem)
 $a = 10/3$ pro válečková, kuželíková a soudečková ložiska
(ložiska s čárovým stykem)

Základní trvanlivost – L_{10}

- Počet otáček nebo provozních hodin, které dosáhne nebo překročí 90% ložisek (spolehlivost 90%) z dané skupiny než dojde k MS = 10% percentil (dolní decil) poruch.
- Trvanlivost valivého ložiska klesá nepřímo úměrně s třetí mocninou jeho zatížení.
- Studie ukázaly, že tato hodnota exponentu platí jen pro ložiska s bodovým stykem, zatímco pro ložiska s čárovým stykem je 10/3.

$$L_{10} = \left(\frac{C}{F} \right)^a \frac{10^6}{60n} \text{ (hod)}$$

$$L_{10} = \left(\frac{C}{F} \right)^a 10^6 \text{ (ot)}$$

Základní dynamická únosnost C_{10}

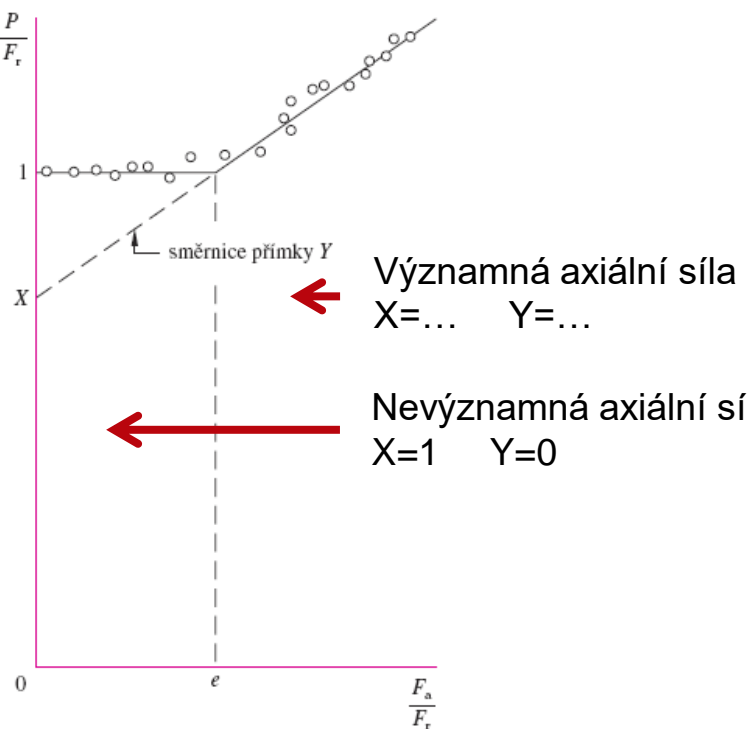
- Největší neproměnné radiální zatížení valivého ložiska, při kterém nejméně 90 % ložisek ze skupiny dosáhne základní trvanlivosti $L_{10} = 10^6$ otáček.
- Je uváděna v katalogu ložisek výrobcem.

$$C \cdot (10^6)^{1/a} = F \cdot L_{10}^{1/a}$$

Kombinované radiální a axiální zatížení

7.cvičenie

Trvanlivost ložiska A	N_A
Trvanlivost ložiska B	N_B
Trvanlivost ložiska C	N_c
Návrh délky pera (otl. v náboji)	L_1



Dynamické radiální ekvivalentní zatížení:

$$\frac{P}{F_r} = X + Y \frac{F_a}{F_r}$$

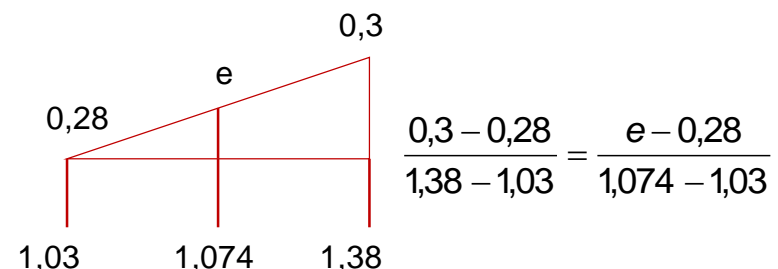
$$\frac{P}{F_r} = 1$$

$$P = X F_r + Y F_a$$

$f_0 F_a / C_{0r}^a$	e	$F_a/F_r \leq e$		$F_a/F_r > e$	
		X	Y	X	Y
0,172	0,19	1,00	0	0,56	2,30
0,345	0,22	1,00	0	0,56	1,99
0,689	0,26	1,00	0	0,56	1,71
1,03	0,28	1,00	0	0,56	1,55
1,38	0,30	1,00	0	0,56	1,45
2,07	0,34	1,00	0	0,56	1,31
3,45	0,38	1,00	0	0,56	1,15
5,17	0,42	1,00	0	0,56	1,04
6,89	0,44	1,00	0	0,56	1,00

^a Hodnoty f_0 jsou uvedeny v ISO 76:2006 nebo v katalogu výrobce ložisek.

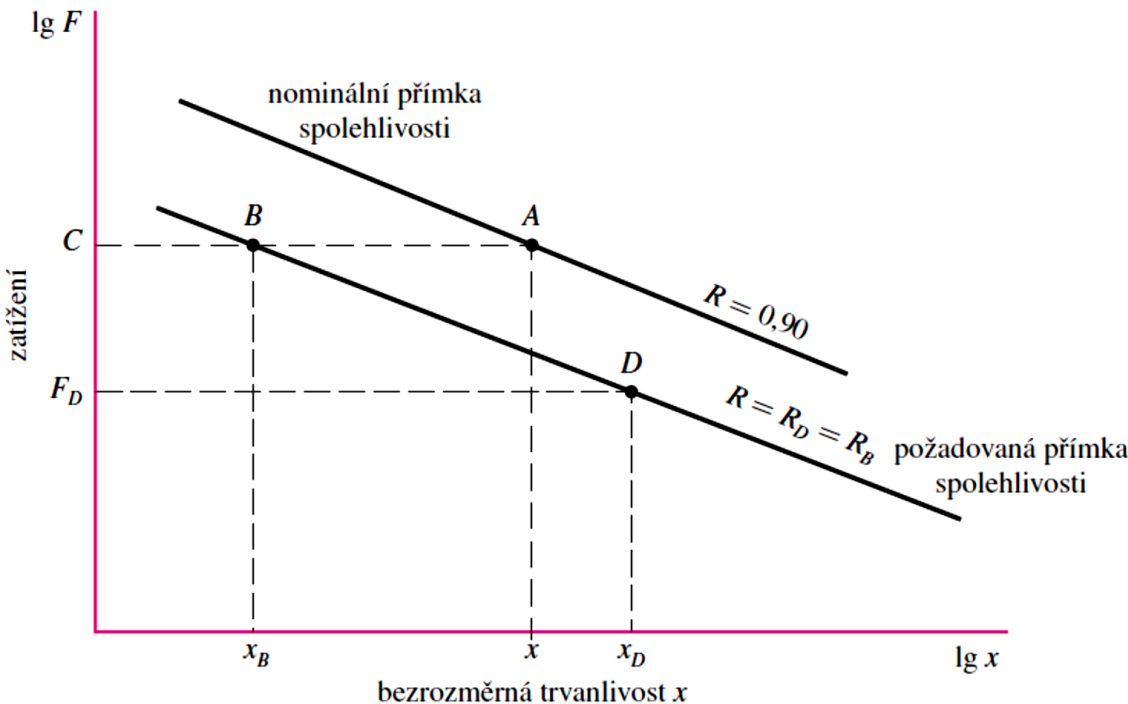
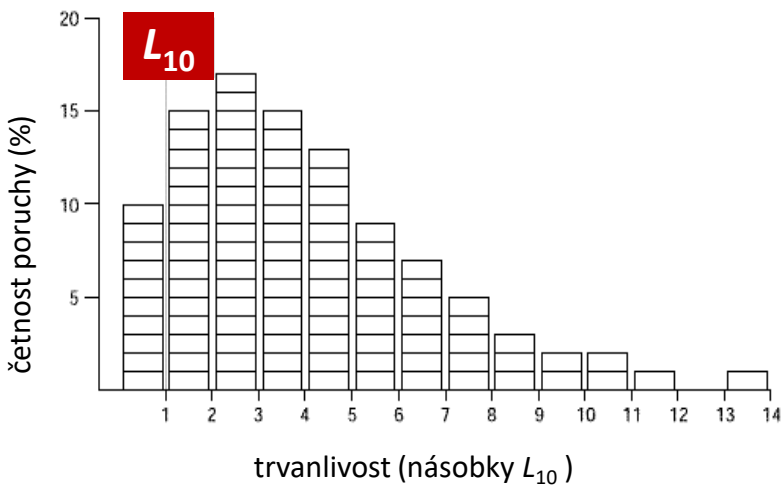
$f_0 F_a / C_0$	e
1,03	0,28
1,074	0,283
1,38	0,30



Základní trvanlivost L_{10}

7.cvičenie

Trvanlivost ložiska A	N_A
Trvanlivost ložiska B	N_B
Trvanlivost ložiska C	N_c
Návrh délky pera (otl. v náboji)	L_1



Spolehlivost R (pravděpodobnost bezporuchového provozu)

- Procento skupiny stejných ložisek, které musí dosáhnout nebo překročit danou trvanlivost.
- U kuželovej prevodovky požadujeme $R= 0,90$

Kombinované radiální a axiální zatížení

Poškození klece



Lom kroužku



Elektro-koroze



Brinelling



Scoring



Pitting



Plastická deformace kroužku z důvodu vysoké rychlosti.

Lom plochy pro zachycení ax. zatížení.

Projev elektrokoroze vlivem přechodu el. napětí do rámu stroje.

Vibrace ve statickém stavu ložiska.

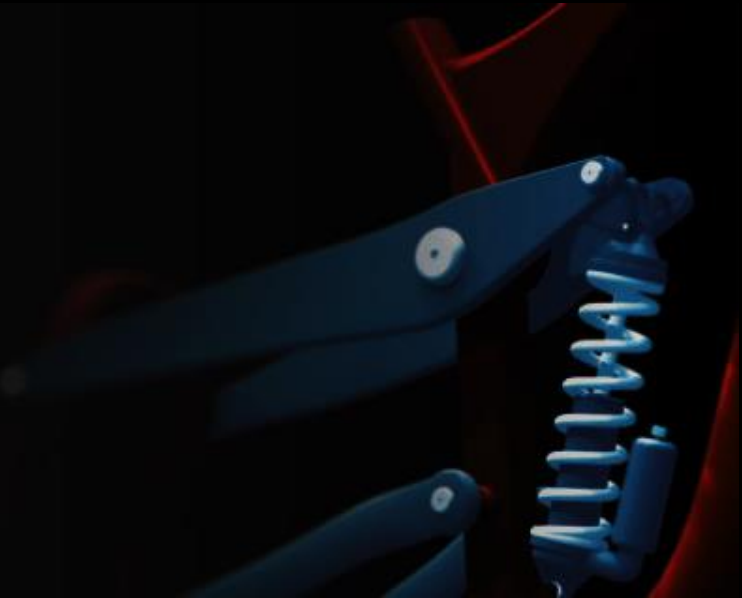
Rýhování kroužku způsobené kontaminací maziva.

Unavové poškození kontaktních těles.

KONSTRUOVÁNÍ STROJNÍCH SOUČÁSTÍ

Joseph E. SHIGLEY
Charles R. MISCHKE
Richard G. BUDYNAS

Ďekuji za pozornost !



Ústav konstruování
Fakulta strojního inženýrství
VUT v Brně